



**UNIVERSIDADE FEDERAL DE CAMPINA GRANDE**  
CENTRO DE ENGENHARIA ELÉTRICA E COMPUTAÇÃO  
DEPARTAMENTO DE ENGENHARIA ELÉTRICA

# TEEE - Projeto de circuitos fotônicos em silício

Unidade 01

Prof. Adolfo Herbster  
20 de Dezembro de 2021

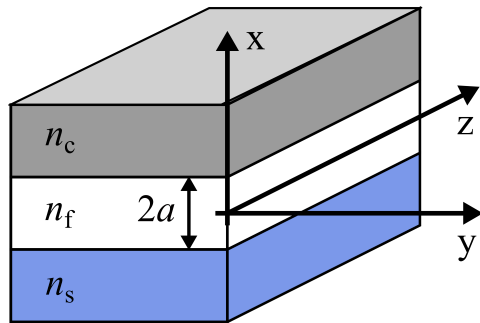
Lição atual: Guia planar dielétrico

## Definição do guia

O guia dielétrico planar é formado por  $N$  camadas de material dielétrico de espessura  $h_i$  e índice de refração  $n_i$  ( $i = f, n, s$ ). Nosso primeiro estudo consiste em um guia dielétrico planar de 3 (três) camadas, conforme ilustra a Fig. 7. A relação entre os índices é

$$0 < n_c < n_s < n_f. \quad (79)$$

Por esta relação, devido à reflexão interna total, o campo é confinado majoritariamente no núcleo (índice  $n_f$ ). Entretanto, há campo evanescente na casca (índice  $n_c$ ) e no substrato (índice  $n_s$ ). É importante destacar que  $\mu_r$  (permeabilidade magnética) em todos os guias dielétricos é unitária.



**Figura 7:** Ilustração do guia dielétrico planar e a escolha do sistema de coordenadas. Observe que a origem da coordenada  $x$  é o centro da camada cujo índice é  $n_f$ .

# Modo TE

## Soluções vetoriais

O guia ilustrado na Fig. 7 suporta apenas os modos TE e TM (por qual motivo?). Os modos TE (*Transverse Electric*) são caracterizados pela condição  $E_z = 0$  e  $H_z \neq 0$ . Todas as componentes dos modos TE são obtidas por<sup>4</sup>:

$$\begin{cases} \nabla_T^2 H_z + k_i^2 H_z = 0 \\ \mathbf{H}_T = -j \frac{\beta}{k_i^2} \nabla_T H_z \\ \mathbf{E}_T = \eta_{TE} \mathbf{H}_T \times \hat{\mathbf{z}} \end{cases} \rightarrow \begin{cases} \frac{d^2 H_z}{dx^2} + k_i^2 H_z = 0 \\ H_x = -j \frac{\beta}{k_i^2} \frac{dH_z}{dx} \\ E_y = j \eta_{TE} \frac{\beta}{k_i^2} \frac{dH_z}{dx} \end{cases} \quad (80)$$

em que  $k_i^2 = k_0^2 n_i^2 - \beta^2$  ( $i = f, n, s$ ) e  $\eta_{TE} = \omega \mu / \beta$ . Importante lembrar que  $\beta = k_0 n_{eff}$  é a constante de propagação e  $n_{eff}$  o índice de refração efetivo do modo no guia e, portanto,  $k_i = k_0 \sqrt{n_i^2 - n_{eff}^2}$ . As componentes  $E_x$ ,  $E_z$  e  $H_y$  são **nulas**.

---

<sup>4</sup>Importante destacar que  $\partial_y H_z = 0$ .

# Modo TE

## Componente longitudinal

Na [Fig. 7](#), há três dielétricos distintos. A equação que descreve a componente  $H_z$  em cada região é expressa como

$$\left\{ \begin{array}{l} \frac{d^2 H_z}{dx^2} + k_c^2 H_z = 0, \quad x \geq a \\ \frac{d^2 H_z}{dx^2} + k_f^2 H_z = 0, \quad |x| \leq a \\ \frac{d^2 H_z}{dx^2} + k_s^2 H_z = 0, \quad x \leq -a \end{array} \right. \rightarrow \left\{ \begin{array}{l} \frac{d^2 H_z}{dx^2} - \alpha_c^2 H_z = 0, \quad x \geq a \\ \frac{d^2 H_z}{dx^2} + k_f^2 H_z = 0, \quad |x| \leq a \\ \frac{d^2 H_z}{dx^2} - \alpha_s^2 H_z = 0, \quad x \leq -a \end{array} \right. \quad (81)$$

As variáveis  $k_c$ ,  $k_f$  e  $k_s$  correspondem às constantes de propagação na casca, núcleo e substrato, respectivamente. Para garantir que os campos decaiam na casca e no substrato, é necessário que  $k_c = -j\alpha_c$  e  $k_s = j\alpha_s$ . A solução da [Eq. 81](#) é então

$$H_z(x) = \left\{ \begin{array}{ll} Ae^{-\alpha_c x} + A'e^{\alpha_c x}, & x \geq a \\ B \cos(k_f x) + C \sin(k_f x), & |x| \leq a \\ De^{\alpha_s x} + D'e^{-\alpha_s x}, & x \leq -a \end{array} \right. \quad (82)$$

# Mode TE

## Componente longitudinal

Como os campos devem decair nas regiões distantes do núcleo, é necessário que  $A'$  e  $D'$  sejam **nulos**, portanto<sup>5</sup>

$$H_z(x) = \begin{cases} Ae^{-\alpha_c x}, & x \geq a \\ H_0 \sin(k_f x + \phi), & |x| \leq a \\ De^{\alpha_s x}, & x \leq -a \end{cases} \quad (83)$$

As condições de fronteira em  $x = \pm a$  são aplicada na componente  $H_z(x)$ :

$$H_z(x) = H_0 \begin{cases} \sin(k_f a + \phi)e^{-\alpha_c(x-a)}, & x \geq a \\ \sin(k_f x + \phi), & |x| \leq a \\ -\sin(k_f a - \phi)e^{\alpha_s(x+a)}, & x \leq -a \end{cases} \quad (84)$$

---

<sup>5</sup>Considere ainda que  $a \sin \theta \pm b \cos \theta = \sqrt{a^2 + b^2} \sin(\theta \pm \alpha)$ .

# Mode TE

## Componentes transversais

As componentes  $H_x(x)$  e  $E_y(x)$  são determinadas a partir da [Eq. 80](#) e [Eq. 84](#):

$$H_x(x) = -jH_0\beta \begin{cases} \alpha_c^{-1} \sin(k_f a + \phi) e^{-\alpha_c(x-a)}, & x \geq a \\ k_f^{-1} \cos(k_f x + \phi), & |x| \leq a \\ \alpha_s^{-1} \sin(k_f a - \phi) e^{\alpha_s(x+a)}, & x \leq -a \end{cases} \quad (85)$$

$$E_y(x) = jH_0\omega\mu \begin{cases} \alpha_c^{-1} \sin(k_f a + \phi) e^{-\alpha_c(x-a)}, & x \geq a \\ k_f^{-1} \cos(k_f x + \phi), & |x| \leq a \\ \alpha_s^{-1} \sin(k_f a - \phi) e^{\alpha_s(x+a)}, & x \leq -a \end{cases} \quad (86)$$

Observe que

$$\lim_{x \rightarrow \pm\infty} |H_z(x)| = 0 \quad \lim_{x \rightarrow \pm\infty} |E_y(x)| = 0 \quad \lim_{x \rightarrow \pm\infty} |H_x(x)| = 0,$$

e, portanto, o campo é confinado no núcleo do guia.

# Modo TE

## Equação característica

As condições de contorno em  $E_y(x = \pm a)$  resultam em

$$\frac{1}{k_f} \cos(k_f x + \phi) = \frac{1}{\alpha_c} \sin(k_f x + \phi) \rightarrow \tan(k_f a + \phi) = \frac{\alpha_c}{k_f} \quad (87)$$

$$\frac{1}{k_f} \cos(k_f x - \phi) = \frac{1}{\alpha_s} \sin(k_f x - \phi) \rightarrow \tan(k_f a - \phi) = \frac{\alpha_s}{k_f} \quad (88)$$

Considerando as identidades trigonométricas  $\tan(\theta) = \tan(\theta + m\pi)$  e  $\arctan a \pm \arctan b = \arctan\left(\frac{a \pm b}{1 \mp ab}\right)$ , obtemos a equação característica para os modos TE:

$$\frac{k_f(\alpha_c + \alpha_s)}{k_f^2 - \alpha_s \alpha_c} = \tan(2k_f a) \quad (89)$$

cujas soluções são as constantes de propagação  $\beta$  dos modos TE.



# Modo TE

## Equação característica

Para praticidade nas manipulações algébricas, são definidos os parâmetros modais  $u = k_f h$ ,  $v = \alpha_s h$  e  $w = \alpha_c h$ . Esses parâmetros são positivos (ou nulos) e adimensionais. A partir desses parâmetros modais, a Eq. 89 é reescrita como

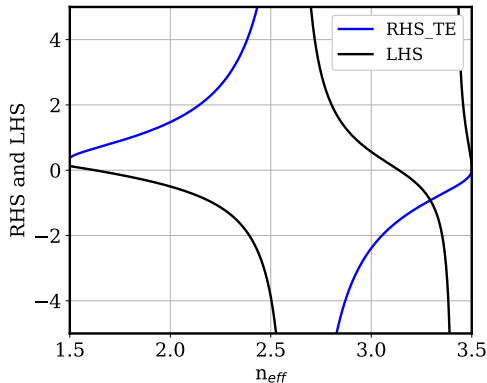
$$\frac{u(v+w)}{u^2 - vw} = \tan(2u) \quad (90)$$

É importante lembrar que

$$u = ak_f = ak_0 \sqrt{n_f^2 - n_{eff}^2} \quad (91)$$

$$w = a\alpha_c = ak_0 \sqrt{n_{eff}^2 - n_c^2} \quad (92)$$

$$v = a\alpha_s = ak_0 \sqrt{n_{eff}^2 - n_s^2} \quad (93)$$



**Figura 8:** Curvas da equação característica, considerando  $n_f = 3.5$ ,  $n_s = 1.45$ ,  $n_c = 1.0$ ,  $a = 0,25 \mu\text{m}$  e  $\lambda = 1550 \text{ nm}$ .

# Modo TE

Equação característica

A partir da Eq. 87 e Eq. 88:

$$2u = m\pi + \arctan\left(\frac{w}{u}\right) + \arctan\left(\frac{v}{u}\right) \quad (94)$$

$$2\phi = m\pi + \arctan\left(\frac{w}{u}\right) - \arctan\left(\frac{v}{u}\right) \quad (95)$$

Partindo do parâmetro modal  $u$ , temos (**mostre!**)

$$u = \sqrt{1 - \underbrace{\left(\frac{\beta^2 - k_0^2 n_s^2}{k_0^2 n_f^2 - k_0^2 n_s^2}\right)}_b \underbrace{\left[k_0 a \sqrt{(n_f^2 - n_s^2)}\right]}_V}, \quad (96)$$

em que  $b$  é a constante de propagação normalizada e  $V$  é a frequência normalizada, que depende de todos os parâmetros do guia: índices de refração, espessura e comprimento de onda. A partir da Eq. 96 é possível concluir que

$$u = \sqrt{1 - bV} \quad \rightarrow \quad v = \sqrt{bV} \quad \rightarrow \quad u^2 + v^2 = V^2 \quad (97)$$

# Modo TE

## Curvas universais

A relação entre o parâmetro modal  $w$  e os demais parâmetros, é obtida a partir de

$$\left(\frac{w}{u}\right)^2 = \frac{\beta^2 - k_0^2 n_c^2}{k_0^2 n_f^2 - \beta^2} = \frac{\beta^2 - k_0^2 n_c^2 + k_0^2 n_s^2 - k_0^2 n_s^2}{k_0^2 n_f^2 - \beta^2 + k_0^2 n_s^2 - k_0^2 n_s^2} = \frac{b + \delta}{1 - b}, \quad (98)$$

em que

$$\delta = \frac{k_0^2 n_s^2 - k_0^2 n_c^2}{k_0^2 n_f^2 - k_0^2 n_s^2} = \frac{n_s^2 - n_c^2}{n_f^2 - n_s^2}, \quad (99)$$

denominado de parâmetro de assimetria. Caso  $n_s = n_c$  (guia simétrico), então  $\delta = 0$ . A Eq. 98 é reescrita como

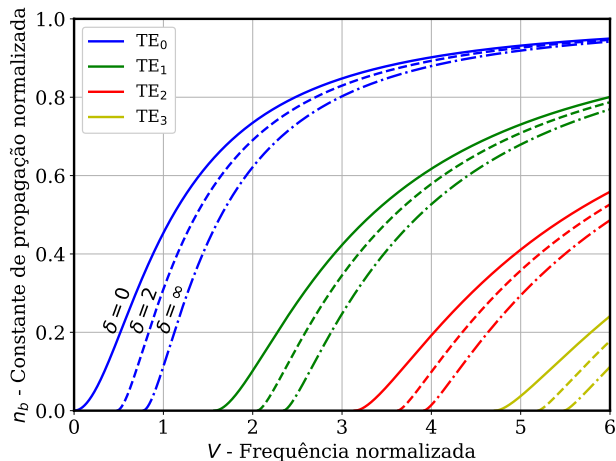
$$\frac{w}{u} = \sqrt{\frac{b + \delta}{1 - b}} \rightarrow w^2 - v^2 = \delta V^2 \quad (100)$$

Assim, a equação característica (Eq. 94) é reescrita como

$$2V\sqrt{1 - b} = m\pi + \arctan\left(\sqrt{\frac{b + \delta}{1 - b}}\right) + \arctan\left(\sqrt{\frac{b}{1 - b}}\right) \quad (101)$$

# Modo TE

## Relações de dispersão



**Figura 9:** Curvas universais para diferentes valores do parâmetro de assimetria - modos TE.

# Modo TE

## Frequência de corte

A frequência normalizada de corte  $V_c^m$  é determinada quando  $b = 0$  e, portanto, a partir da Eq. 101:

$$2V_c^m = m\pi + \arctan(\sqrt{\delta}) \rightarrow f_c^m = \frac{m\pi + \arctan(\sqrt{\delta})}{4\pi \frac{a}{c_0} \sqrt{n_f^2 - n_s^2}} \quad (102)$$

Observe que para  $\delta = 0$  (guia simétrico), as equações anteriores são reescritas como

$$V_c^m = m\frac{\pi}{2} \quad \text{e} \quad f_c^m = \frac{m\pi}{4\pi \frac{a}{c_0} \sqrt{n_f^2 - n_s^2}}$$

A quantidade de modos TE guiados pode ser obtida considerando que  $V_c^m \leq V$  ou<sup>6</sup>

$$m \leq \frac{2V - \arctan(\sqrt{\delta})}{\pi} \rightarrow M = \text{floor} \left( \frac{2V - \arctan(\sqrt{\delta})}{\pi} \right) \quad (103)$$

em que  $M$  é o índice do modo de mais alta ordem e, portanto, haverá  $M + 1$  modos.

<sup>6</sup>floor( $x$ ) é o maior inteiro menor que  $x$ .

# Modo TE

## Exemplos

**Exemplo 1:** Considere um guia de placas dielétricas paralelas formado por silício ( $n_f = 3,48$ ) e óxido de silício ( $n_s = 1,45$ ) envolto no ar ( $n_c = 1$ ). A largura da camada de silício é 500 nm. Considere o comprimento de onda do sinal em 1550 nm (no espaço livre). Inicialmente, a partir da [Eq. 103](#), determine o número de modos propagantes e suas respectivas frequências de corte. Em seguida, a partir das curvas universais, determine quantos modos propagantes TE existem no guia. Em seguida determine o índice efetivo dos modos guiados.

# Modo TM

## Componente longitudinal

Os modos TM (*Transverse Magnetic*) são caracterizados pela condição  $E_z \neq 0$  e  $H_z = 0$ . Todas as componentes dos modos TM são obtidas por:

$$\begin{cases} \nabla_T^2 E_z + k_i^2 E_z = 0 \\ \mathbf{E}_T = -j \frac{\beta}{k_i^2} \nabla_T E_z \\ \mathbf{H}_T = \frac{1}{\eta_{TM}} \hat{\mathbf{z}} \times \mathbf{E}_T. \end{cases} \rightarrow \begin{cases} \frac{d^2 E_z}{dx^2} + k_i^2 E_z = 0 \\ E_x = -j \frac{\beta}{k_i^2} \frac{dE_z}{dx} \\ H_y = -j \frac{\omega \varepsilon}{k_i^2} \frac{dE_z}{dx} \end{cases} \quad (104)$$

em que  $\eta_{TM} = \beta / \omega \varepsilon$ . As componentes  $E_y$ ,  $H_z$  e  $H_x$  são **nulas**. Importante lembrar que há três dielétricos distintos no guia (casca, núcleo e substrato). As considerações realizadas para os modos TE são mantidas para os modos TM. Portanto

$$E_z(x) = E_0 \begin{cases} \sin(k_f a + \phi) e^{-\alpha_c(x-a)}, & x \geq a \\ \sin(k_f x + \phi), & |x| \leq a \\ -\sin(k_f a - \phi) e^{\alpha_s(x+a)}, & x \leq -a \end{cases} \quad (105)$$

# Modo TM

## Componentes transversais

As componentes  $H_x(x)$  e  $E_y(x)$  são determinadas a partir da Eq. 104 e Eq. 105:

$$E_x(x) = -jE_0\beta \begin{cases} \alpha_c^{-1} \sin(k_f a + \phi) e^{-\alpha_c(x-a)}, & x \geq a \\ k_f^{-1} \cos(k_f x + \phi), & |x| \leq a \\ \alpha_s^{-1} \sin(k_f a - \phi) e^{\alpha_s(x+a)}, & x \leq -a \end{cases} \quad (106)$$

$$H_y(x) = -jE_0\omega \begin{cases} \frac{n_c^2}{\alpha_c} \sin(k_f a + \phi) e^{-\alpha_c(x-a)}, & x \geq a \\ \frac{n_f^2}{k_f} \cos(k_f x + \phi), & |x| \leq a \\ \frac{n_s^2}{\alpha_s} \sin(k_f a - \phi) e^{\alpha_s(x+a)}, & x \leq -a \end{cases} \quad (107)$$

Observe que

$$\lim_{x \rightarrow \pm\infty} |E_z(x)| = 0 \quad \lim_{x \rightarrow \pm\infty} |E_x(x)| = 0 \quad \lim_{x \rightarrow \pm\infty} |H_y(x)| = 0,$$

e, portanto, o campo é confinado no núcleo do guia.



# Modo TM

## Equação característica

As condições de fronteira (continuidade) são aplicadas em  $H_y(x = \pm a)$ , obtendo as seguintes relações

$$\frac{n_f^2}{k_f} \cos(k_f x + \phi) = \frac{n_c^2}{\alpha_c} \sin(k_f x + \phi) \rightarrow \tan(k_f a + \phi) = \frac{\alpha_c}{k_f} \left( \frac{n_f}{n_c} \right)^2 = \frac{\alpha_c}{k_f} p_c \quad (108)$$

$$\frac{n_f^2}{k_f} \cos(k_f x - \phi) = \frac{n_s^2}{\alpha_s} \sin(k_f x - \phi) \rightarrow \tan(k_f a - \phi) = \frac{\alpha_s}{k_f} \left( \frac{n_f}{n_s} \right)^2 = \frac{\alpha_s}{k_f} p_s \quad (109)$$

A partir da [Eq. 108](#) e [Eq. 109](#) e aplicando as identidades trigonométricas já citadas, assim como os parâmetros modais  $u$ ,  $v$  e  $w$ , obtemos para os modos TM

$$2u = m\pi + \arctan \left( p_c \frac{w}{u} \right) + \arctan \left( p_s \frac{v}{u} \right) \quad (110)$$

$$2\phi = m\pi + \arctan \left( p_c \frac{w}{u} \right) - \arctan \left( p_s \frac{v}{u} \right) \quad (111)$$

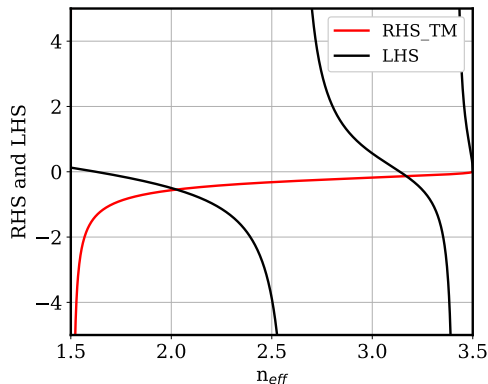
# Modo TM

## Equação característica

Utilizando as mesmas identidades trigonométricas para obtenção da equação característica para os modos TE, assim como os parâmetros  $u$ ,  $v$  e  $w$ , obtemos para os modos TM:

$$\frac{u(p_s v + p_c w)}{u^2 - p_s p_c v w} = \tan(2u) \quad (112)$$

cujas soluções são as constantes de propagação  $\beta$  dos modos TM.



**Figura 10:** Curvas da equação característica, considerando  $n_f = 3.5$ ,  $n_s = 1.45$ ,  $n_c = 1.0$ ,  $a = 0,5 \mu\text{m}$  e  $\lambda = 1550 \text{ nm}$ .

# Modo TM

## Relações de dispersão e frequência de corte

A partir da [Eq. 110](#) e das relações descritas na [Eq. 97](#), temos

$$2V\sqrt{1-b} = m\pi + \arctan\left(p_c\sqrt{\frac{b+\delta}{1-b}}\right) + \arctan\left(p_s\sqrt{\frac{b}{1-b}}\right) \quad (113)$$

Da mesma maneira que para os modos TE, a frequência normalizada de corte  $V_c^m$  dos modos TM é determinada quando  $b = 0$  e, portanto, a partir da [Eq. 113](#):

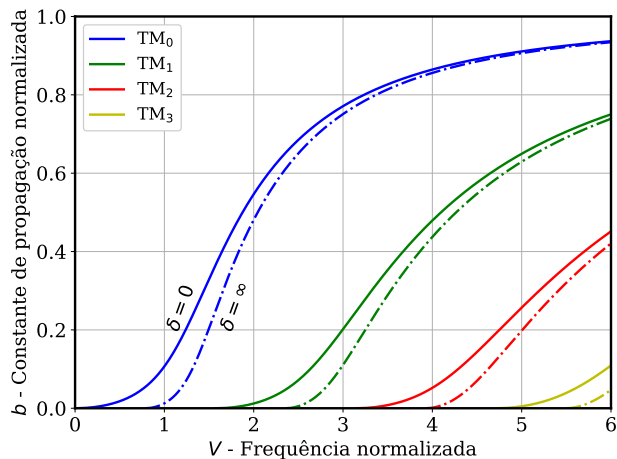
$$2V_c^m = m\pi + \arctan(p_c\sqrt{\delta}) \rightarrow f_c^m = \frac{m\pi + \arctan(p_c\sqrt{\delta})}{4\pi \frac{a}{c_0} \sqrt{n_f^2 - n_s^2}} \quad (114)$$

Observe que para  $\delta = 0$  (guia simétrico), as equações anteriores são reescritas como

$$V_c^m = m\frac{\pi}{2} \quad \text{e} \quad f_c^m = \frac{m\pi}{4\pi \frac{a}{c_0} \sqrt{n_f^2 - n_s^2}}$$

# Modo TM

## Curvas universais



**Figura 11:** Curvas universais para diferentes valores do parâmetro de assimetria - modos TM ( $p_c = 2$  e  $p_s = 2$ ).

# Modo TM

## Frequência de corte

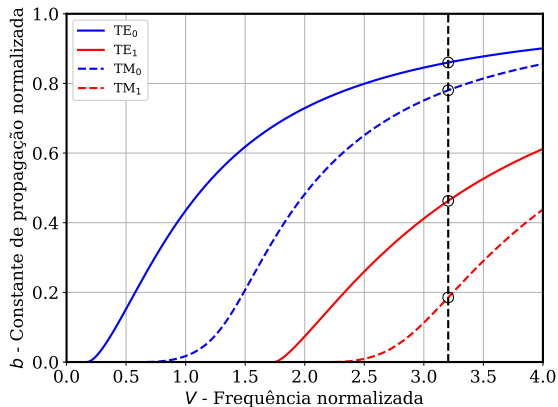
A quantidade de modos TE guiados pode ser obtida considerando que  $V_c^m \leq V$  ou

$$m \leq \frac{2V - \arctan(p_c \sqrt{\delta})}{\pi} \rightarrow M = \text{floor} \left( \frac{2V - \arctan(p_c \sqrt{\delta})}{\pi} \right) \quad (115)$$

em que  $M$  é o índice do modo de mais alta ordem. Como  $p_c > 1$ , observa-se que  $M_{TM} \leq M_{TE}$  e  $f_c^{TE} \leq f_c^{TM}$ .

# Modo TE e TM

## Curvas universais



**Figura 12:** Curvas universais para diferentes valores do parâmetro de assimetria considerando  $n_f = 3.5$ ,  $n_s = 1.45$ ,  $n_c = 1.0$ ,  $a = 0,5 \mu\text{m}$  e  $\lambda = 1550 \text{ nm}$ .

# Modo TM

## Exemplo

**Exemplo 2:** Em um guia dielétrico simétrico, foi observado que o comprimento de onda de corte do  $TM_2$  é cerca de  $1,5 \mu m$ . O índice de refração do núcleo e do substrato/casca é cerca de 1,55 e 1,54 respectivamente.

- Qual é a espessura do guia?
- Qual o índice efetivo do modo  $TM_2$ ?
- Qual a constante de propagação  $\beta_2$  ( $TM_2$ )?
- Ilustre o índice de refração efetivo em função da frequência normalizada  $V$  para os modos TM.

# Fator de confinamento

## Modo TE

A relação entre a potência do sinal no núcleo ( $P_{core}$ ) e a potência total ( $P_t$ ) é definida como fator de confinamento ( $\Gamma$ ). Para determinar este parâmetro dos modos TE, é importante relembrar a [Eq. ??](#) (vetor de Poynting do modo TE)

$$\mathcal{P}_z = \frac{1}{2} \operatorname{Re} (\mathbf{E}_T \times \mathbf{H}_T^*) \cdot \hat{\mathbf{z}} = \frac{1}{2} \eta_{TE} |\mathbf{H}_T|^2 = \frac{1}{2} \eta_{TE} \frac{\beta^2}{k_c^4} |\nabla_T H_z|^2.$$

A potência total do modo TE:

$$\begin{aligned} P_t &= \int \mathcal{P}_z dS = \frac{1}{2} \eta_{TE} \int_0^W \int_{-\infty}^{\infty} |\mathbf{H}_T|^2 dx dy \\ &= \frac{W}{2} \eta_{TE} \int_{-\infty}^{\infty} |H_x|^2 dx dy \\ &= \frac{W}{2} \eta_{TE} \left[ \int_a^{\infty} |H_x|^2 dx dy + \int_{-a}^a |H_x|^2 dx dy + \int_{-\infty}^{-a} |H_x|^2 dx dy \right] \\ &= P_{clad} + P_{core} + P_{sub} \end{aligned} \tag{116}$$



# Distribuição do campo elétrico

Modo TE

Para cada região:

$$P_{clad} = \frac{W\eta_{TE}H_0^2}{2} \left[ \frac{\beta^2}{2\alpha_c^3} \sin^2(k_f a + \phi) \right] \quad (117)$$

$$P_{core} = \frac{W\eta_{TE}H_0^2}{2} \left[ a + \frac{\sin(2k_f a + 2\phi) + \sin(2k_f a - 2\phi)}{4k_f} \right] \frac{\beta^2}{k_f^2} \quad (118)$$

$$P_{subs} = \frac{W\eta_{TE}H_0^2}{2} \left[ \frac{\beta^2}{2\alpha_s^3} \sin^2(k_f a - \phi) \right] \quad (119)$$

Ao substituir os parâmetros modais ( $u$ ,  $v$  e  $w$ ) e considerando a equação característica para o modo TE (Eq. 90):

$$P_{core} = \frac{H_0^2 W \beta \mu_0 \omega}{4k_f^3} \left[ \frac{u}{v} \sin^2(u - \phi) + \frac{u}{w} \sin^2(u + \phi) + 2u \right] \quad (120)$$

$$P_t = \frac{H_0^2 W \beta \mu_0 \omega}{4k_f^3} \left[ \frac{u}{v} + \frac{u}{w} + 2u \right] \quad (121)$$

# Distribuição do campo elétrico

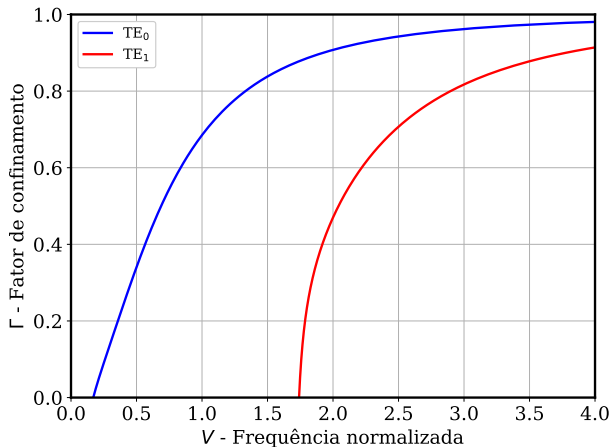
Modo TE

Desta forma, o fator de acoplamento é

$$\Gamma = \frac{P_{core}}{P_t} = \frac{1 + \frac{\sin^2(u-\phi)}{2v} + \frac{\sin^2(u+\phi)}{2w}}{1 + \frac{1}{2v} + \frac{1}{2w}} \quad (122)$$

# Distribuição do campo elétrico

Modo TE



**Figura 13:** Fator de confinamento dos modos TE, considerando  $n_f = 3.5$ ,  $n_s = 1.5$ ,  $n_c = 1.0$ ,  $a = 0.25 \mu\text{m}$  e  $\lambda = 1550 \text{ nm}$ .

# Distribuição do campo elétrico

## Modo TM

Para o modo TM, é importante reescrever a Eq. ??

$$\mathcal{P}_z = \frac{1}{2} \operatorname{Re} (\mathbf{E}_T \times \mathbf{H}_T^*) \cdot \hat{\mathbf{z}} = \frac{1}{2\eta_{\text{TM}}} |\mathbf{E}_T|^2 = \frac{1}{2\eta_{\text{TM}}} \frac{\beta^2}{k_c^4} |\nabla_T E_z|^2.$$

A potência total do modo TM:

$$\begin{aligned} P_t &= \frac{1}{2\eta_{\text{TM}}} \int_0^W \int_{-\infty}^{\infty} |\mathbf{E}_T|^2 dx dy \\ &= \frac{1}{2\eta_{\text{TM}}} \int_{-\infty}^{\infty} |E_x|^2 dx dy \\ &= \frac{1}{2\eta_{\text{TM}}} \left[ \int_a^{\infty} |E_x|^2 dx dy + \int_{-a}^a |E_x|^2 dx dy + \int_{-\infty}^{-a} |E_x|^2 dx dy \right] \\ &= P_{\text{clad}} + P_{\text{core}} + P_{\text{sub}} \end{aligned} \tag{123}$$

# Distribuição do campo elétrico

Modo TM

Da mesma forma, para cada região, a potência é

$$P_{clad} = \frac{W\omega\epsilon_0 E_0^2 \beta n_c^2}{4k_f^3} \left[ \frac{u}{w} \cos^2(u + \phi) \right] \quad (124)$$

$$P_{core} = \frac{W\omega\epsilon_0 E_0^2 \beta n_f^2}{4k_f^3} \left[ \frac{u}{w} \sin^2(u + \phi) + \frac{u}{v} \sin^2(u - \phi) + 2u \right] \quad (125)$$

$$P_{subs} = \frac{W\omega\epsilon_0 E_0^2 \beta n_s^2}{4k_f^3} \left[ \frac{u}{v} \cos^2(u - \phi) \right] \quad (126)$$

Portanto, a potência total é

$$P_t = \frac{W\omega\epsilon_0 E_0^2 \beta n_f^2}{4k_f^3} \left[ p_c \frac{u}{w} \cos^2(u + \phi) + p_s \frac{u}{v} \cos^2(u - \phi) + \frac{u}{w} \sin^2(u + \phi) + \frac{u}{v} \sin^2(u - \phi) + 2u \right] \quad (127)$$

# Distribuição do campo elétrico

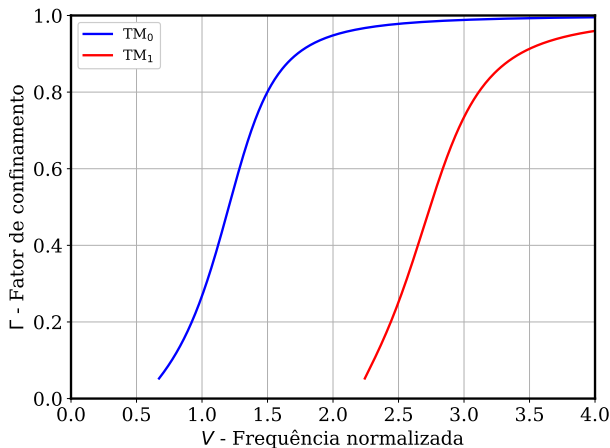
## Modo TM

O fator de confinamento para o modo TM é então

$$\Gamma = \frac{\frac{1}{2w} \sin^2(u + \phi) + \frac{1}{2v} \sin^2(u - \phi) + 1}{p_c \frac{1}{2w} \cos^2(u + \phi) + p_s \frac{1}{2v} \cos^2(u - \phi) + \frac{1}{2w} \sin^2(u + \phi) + \frac{1}{2v} \sin^2(u - \phi) + 1} \quad (128)$$

# Distribuição do campo elétrico

Modo TM



**Figura 14:** Fator de confinamento dos modos TM, considerando  $n_f = 3.5$ ,  $n_s = 1.5$ ,  $n_c = 1.0$ ,  $a = 0.25 \mu\text{m}$  e  $\lambda = 1550 \text{ nm}$ .